

В. Л. Шашкину за замечания, высказанные при чтении рукописи, Т. В. Тузовой и К. И. Меркуловой за помощь при проведении экспериментов.

Поступила в Редакцию 5/V 1968 г.

ЛИТЕРАТУРА

1. И. Е. Старик. Ядерная геохронология. М.—Л., Изд-во АН СССР, 1961.
2. В. В. Чердынцев и др. Труды III сессии Комиссии по определению абсолютного возраста геологических формаций. М., Изд-во АН СССР, 1955, стр. 175.
3. Н. Г. Сыромятников. Миграция изотопов урана, радия и тория и интерпретация радиоактивных аномалий. Алма-Ата, Изд-во АН КазССР, 1961.
4. L. Szillard, H. Chalmers. Nature, 134, 462 (1934).
5. R. Bergman. Amer. Mineralogist, 42, 705 (1957).
6. Г. А. Сидоренко. В сб. «Рентгенография минерального сырья». Вып. 1. М., Госгеолтехиздат, 1962, стр. 108.
7. П. И. Чалов, К. И. Меркулова. «Докл. АН СССР», 167, 669 (1966).
8. С. Т. Конобеевский. Действие облучения на материалы. М., Атомиздат, 1967.
9. Дж. Дицс, Дж. Винчард. Радиационные эффекты в твердых телах. М., Изд-во иностр. лит., 1960.
10. А. И. Захаров. «Усп. физ. наук», 143, 525 (1955).
11. Дж. Слэтер. Там же, XLVII, 51 (1952).
12. Дж. В. Глен. Там же, LX, 445 (1956).
13. Г. Н. Кипчин, Р. С. Пирз. Там же, LX, 590 (1956).
14. J. Brinkman. J. Appl. Phys., 25, 961 (1954).
15. Г. А. Сидоренко. «Геохимия», № 1, 22 (1958).

Выход легких ядер, образующихся при делении U^{235} тепловыми нейтронами

А. А. ВОРОБЬЕВ, В. Т. ГРАЧЕВ, А. П. КОМАР, И. А. КОНДУРОВ,
А. М. НИКИТИН, Д. М. СЕЛИВЕРСТОВ

В последнее время было показано, что в процессе деления ядер могут образовываться не только α -частицы, но и другие легкие ядра [1—3], поэтому исследование этого процесса представляет интерес с точки зрения возможности получения новых нейтронно-избыточных легких ядер [4, 5]. С другой стороны, измерение спектра масс и энергетических распределений легких ядер, образующихся при делении, дает информацию о самом процессе деления.

В данной работе для определения массы, заряда и энергии частиц используется магнитно-пролетный спектрометр. Принцип действия спектрометра основан на одновременном измерении трех параметров регистрируемой частицы:

энергии, времени пролета фиксированного расстояния и величины H_p . Схема спектрометра представлена на рис. 1. Мишень помещена в радиальном канале реактора вблизи активной зоны, где плотность нейтронного потока составляет $\sim 10^{13}$ нейтр./см 2 ·сек. Мишень покрыта алюминиевой фольгой, улавливающей осколки. Длиннопробежные частицы фокусируются двумя квадрупольными линзами Q_1 в плоскости A , где помещен индикатор нуля времени пролета (t_0 — индикатор), представляющий собой тонкую алюминиевую пленку ($0,5 \text{ мк}$), из которой при прохождении заряженной частицы выбиваются электроны вторичной эмиссии. Эти электроны ускоряются до энергии

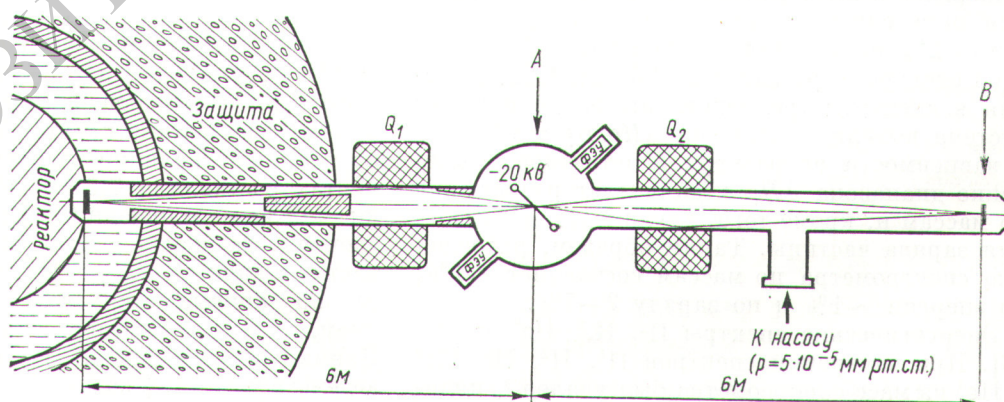


Рис. 1. Схема спектрометра.

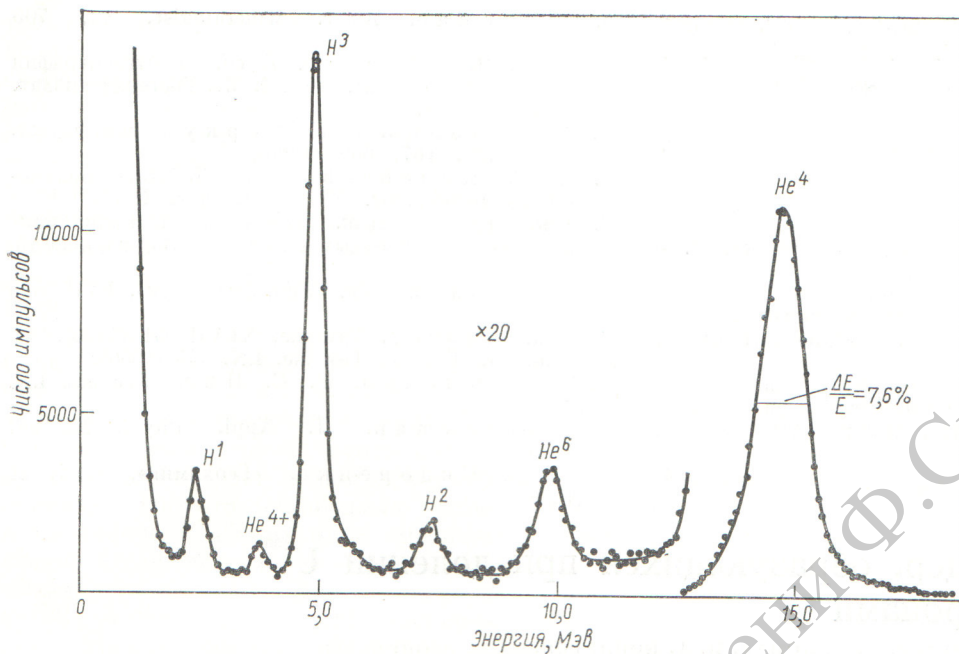


Рис. 2. Энергетический спектр при $H\rho = \text{const.}$ (Время измерений 2000 сен.)

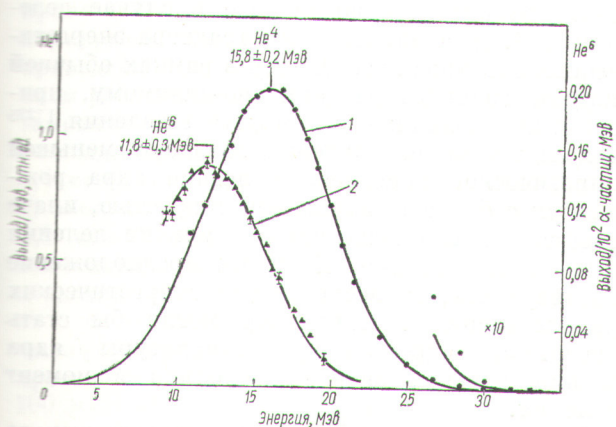
20 кэв и регистрируются двумя сцинтилляционными детекторами, включенными в схему совпадений с разрешающим временем 5 нсек. Импульс со схемы совпадений служит стартовым сигналом для время-амплитудного конвертора. Временной разброс стартовых сигналов — около 1,5 нсек. Пролетной базой является расстояние AB . В точке B помещен кремниевый детектор, измеряющий энергию частицы и дающий быстрый стоп-сигнал для время-амплитудного конвертора. Достигнутое разрешение (ширина линии на половине высоты) при измерении времени пролета составляет 2 нсек. Разрешение по энергии, измеренное для α -частиц с энергией 5 Мэв, равно $\sim 1\%$. Эти два измерения определяют массу частиц с разрешением около 2% независимо от ее заряда. Телесный угол спектрометра равен 10^{-5} от 4π . Используемая в спектрометре магнитная фокусирующая система выделяет диапазон $\Delta H\rho/H\rho = (2-7)\%$ в зависимости от размера E -детектора. Выделение диапазона $\Delta H\rho$ увеличивает разрешение по массам и, кроме того, служит для определения заряда частицы. Таким образом, разрешение спектрометра по массам составляет $\sim 1\%$, по энергии $\sim 1\%$ и по заряду 2—7%.

Энергетические спектры H^2 , H^3 , He^6 и He^4 [6]. При измерении спектров H^1 , H^2 , H^3 , He^6 и He^4 из масс-спектрометра был удален t_0 -индикатор, так как достаточное для разделения

этих изотопов разрешение достигалось и без измерения времени пролета. На рис. 2 приведен энергетический спектр частиц. Энергетическая градуировка проводилась с помощью генератора точной амплитуды, репером служил α -источник Cm^{244} ($E_\alpha = 5,806$ Мэв). Ширина линий определялась разрешением магнитного спектрометра ($\Delta H\rho/H\rho = 3,8\%$).

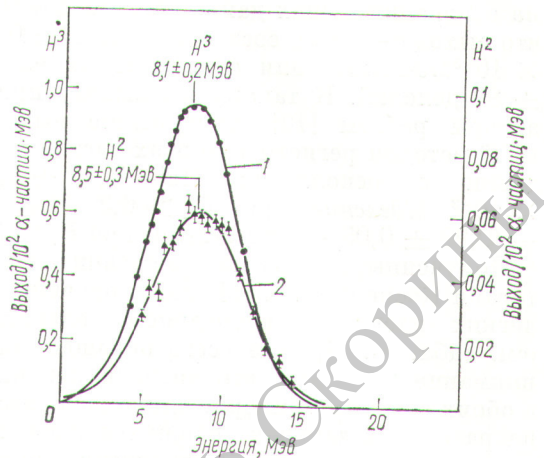
Идентификация частиц осуществляется по отношению энергий соответствующих линий. Неоднозначность в идентификации частиц может возникнуть, если отношение Z^2/M одинаково для двух каких-либо частиц. В нашем случае такими частицами являются H^1 и He^4 , H^2 и He^8 , а также H^4 и однозарядные ионы He^{4+} . Уменьшая напряжение на полупроводниковом детекторе, можно всегда добиться, чтобы протоны оставляли лишь часть энергии в детекторе. Поэтому линии H^1 и He^4 легко разделяются (см. рис. 2). Интенсивность He^8 слишком мала, чтобы исказить результат измерения выхода H^2 . Что же касается линии He^{4+} , то было показано, что она полностью исчезает при помещении в плоскости A (см. рис. 1) тонкой пленки вследствие процесса перезарядки в этой пленке. Интенсивность линии H^4 должна была бы остаться неизменной.

На рис. 3 и 4 приведены энергетические спектры He^4 , He^6 , H^3 , H^2 с учетом поглощения в фольге, покрывающей мишень, и в мишени, причем мы полагали, что мишень однородна по толщине. Толщина фольги в этих экспериментах составляла 7,6 мг/см², толщина мишени — 2 мг на площади 0,5 см². Все измеренные спектры, за исключением высокоэнергетичной части α -спектра ($E_\alpha > 28$ Мэв), удовлетворительно описываются гауссовым распределением, параметры которого приведены в табл. 1. Данные об определении выхода изотопов приведены в табл. 2. Указанные в табл. 1 и 2 ошибки являются статистическими. Выходы всех

Рис. 3. Энергетический спектр He^4 и He^6 .

Сплошными линиями представлено гауссово распределение:

$$1 = 1,28 \exp \left[-\frac{(E - 15,7)^2}{33,1} \right]; 2 = 0,144 \exp \left[-\frac{(E - 11,8)^2}{29,2} \right].$$

Рис. 4. Энергетический спектр H^3 и H^2 .

Сплошными линиями представлено гауссово распределение:

$$1 = 0,96 \exp \left[-\frac{(E - 8,1)^2}{13,8} \right]; 2 = 0,061 \exp \left[-\frac{(E - 8,5)^2}{16,6} \right].$$

Сравнение данных, полученных при делении U^{235} тепловыми нейтронами
■ при спонтанном делении Cf^{252}

Таблица 1

Изотоп	U ²³⁵ —данная работа *			Cf ²⁵² —работа [1]		
	наиболее вероятная энергия, МэВ	HWHM **, МэВ	полный выход на 100 α -частиц	наиболее вероятная энергия, МэВ	HWHM, МэВ	полный выход на 100 α -частиц
H^2	$8,5 \pm 0,3$	$3,4 \pm 0,2$	$0,44 \pm 0,04$	$8,0 \pm 0,5$	$3,6 \pm 0,5$	$0,68 \pm 0,03$
H^3	$8,1 \pm 0,2$	$3,1 \pm 0,1$	$6,3 \pm 0,2$	$8,0 \pm 0,3$	$3,1 \pm 0,3$	$8,46 \pm 0,28$
He^6	$11,8 \pm 0,3$	$4,5 \pm 0,2$	$1,4 \pm 0,1$	$12,0 \pm 0,5$	$4,0 \pm 0,5$	$2,63 \pm 0,18$
He^4	$15,8 \pm 0,2$	$4,8 \pm 0,15$	100	$16,0 \pm 0,2$	$5,1 \pm 0,2$	100

* Недавно [7] методом $\Delta E-E$ -теплоскопа был измерен выход H^1 , H^2 , H^3 , He^6 , He^4 при делении U^{235} тепловыми нейтронами. Результаты измерения энергетического спектра He^4 и выходов H^2 , H^3 , He^6 находятся в хорошем согласии с на-
** HWHM—половина ширины распределения на полувысоте.

изотопов отнесены к полному выходу α -частиц, причем при вычислении полного выхода по измеренному распределению α -частиц считалось гауссовым. Аналогичным образом вычислялся полный выход и других изотопов.

В данной работе измерены выходы изотопов по отношению к выходу α -частиц. Для определения абсолютного выхода (точнее, выхода по отношению к числу двойных делений) можно воспользоваться данными по радиохимическому выделению трития: $(0,95 \pm 0,09) \cdot 10^{-4}$ 1/деление [8], $(0,80 \pm 0,10) \cdot 10^{-4}$ 1/деление [9].

Приняв в качестве среднего для выхода трития величину $(0,87 \pm 0,08) \cdot 10^{-4}$ 1/деление,

Выход легких ядер при делении U^{235} Таблица 2
тепловыми нейтронами

Изо- топ	Измеряемый энергетиче- ский интервал, МэВ	Число зареги- стриро- ванных импуль- сов	Выход в из- меренном диапазоне энергий на 100 α -частиц	Полный выход на 100 α -частиц
H^2	4,8—15,0	$1,7 \cdot 10^4$	$0,39 \pm 0,03$	$0,44 \pm 0,04$
H^3	4,2—11,6	$2,08 \cdot 10^5$	$5,2 \pm 0,15$	$6,3 \pm 0,2$
He^4	10,6—34,2	$3,58 \cdot 10^6$	90	100
He^6	9,0—20,1	$5,8 \cdot 10^4$	$1,04 \pm 0,07$	$1,4 \pm 0,1$

на основании наших данных можно заключить, что выход α -частиц составляет $(1,38 \pm 0,15) \times 10^{-3}$ 1/деление, или одна частица на 720 ± 80 делений. К такому же выводу приходят авторы работы [10], измерившие выход He^4 и H^3 методом регистрации этих частиц в совпадении с осколками: $\text{He}^4 - (1,45 \pm 0,05) \times 10^{-3}$ 1/деление при $E_\alpha > 6,3 \text{ МэВ}$, $\text{H}^3 - (0,99 \pm 0,05) \cdot 10^{-4}$ 1/деление при $E_t > 3 \text{ МэВ}$.

Полученные данные можно сравнить с результатами Коспера и др. [1], исследовавших выход легких ядер при спонтанном делении Cf^{252} (см. табл. 1). Прежде всего обращает на себя внимание тот факт, что энергии легких ядер в обоих случаях примерно одинаковы, несмотря на разницу в зарядах делящихся ядер, приводящую, как известно, к увеличению кинетической энергии осколков при двойном делении Cf^{252} примерно на 10%. В то же время выход

H^2 , H^3 , He^6 даже по отношению к выходу α -частиц определенно меньше в случае деления U^{235} . Для объяснения характера энергетических спектров легких ядер в рамках обычной модели тройного деления, по-видимому, придется предположить, что в случае деления U^{235} осколки в момент деления обладают меньшей кинетической энергией, а легкие ядра рождаются с большей начальной скоростью, иначе говоря, температура ядра в момент деления выше в случае U^{235} . Если это предположение подтвердится, то исследование энергетических распределений легких ядер могло бы стать средством определения температуры ядра и кинетической энергии осколков в момент деления.

Выход изотопов с $Z > 2$. Определение выхода изотопов с $Z > 2$, а также He^3 и He^8 было проведено в двумерном варианте, когда одно-

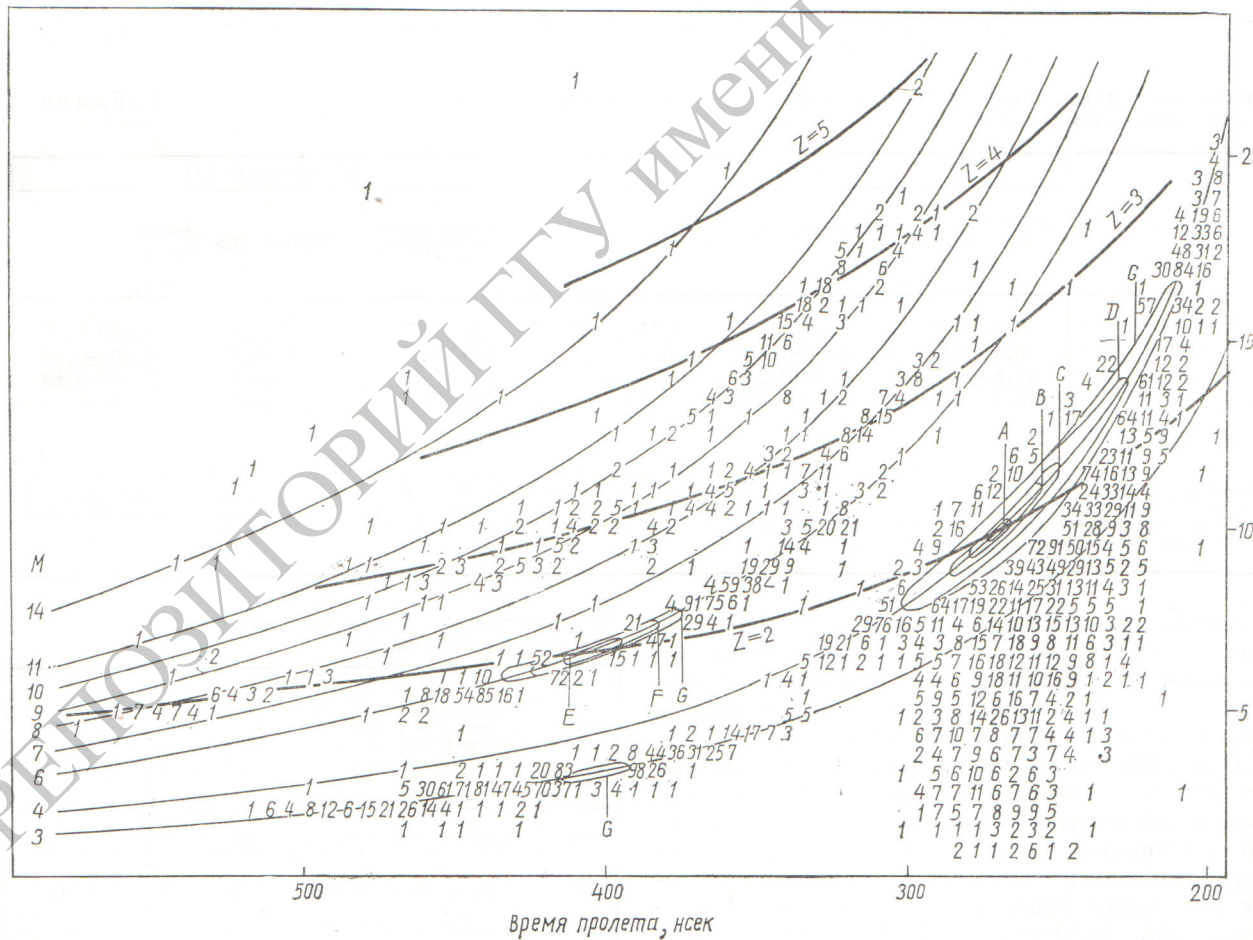


Рис. 5. Двумерный спектр.

Сплошными линиями указаны расчетные места положения импульсов для частиц с заданной массой и зарядом. $A > 4 \cdot 10^4$; $B > 2 \cdot 10^4$; $C > 10^4$; $D > 10^3$; $E > 4 \cdot 10^2$; $F > 2 \cdot 10^2$; $G > 10^2$.

временно с энергией частиц измерялось время пролета. В данных измерениях использовался двумерный 4096-канальный анализатор. Были проведены три серии измерений с использованием различных мишеней и алюминиевых фольг, закрывающих мишень: 1) мишень 2 мг на площади 0,5 см², фольга 7,6 мг/см²; 2) мишень 0,4 мг на площади 0,75 см², фольга 4,95 мг/см²; 3) мишень 0,8 мг на площади 0,75 см², фольга 4,1 мг/см². Измерения проведены при разных значениях H_0 , соответствующих энергии α -частиц (без учета поглощения в фольге) от 4 до 16 МэВ. Кроме того, для определения выхода изотопа Be¹⁰ с энергией ниже 16 МэВ проведены измерения с мишенью толщиной 100 мкг/см² без тормозящей фольги. На рис. 5 представлен двумерный спектр, полученный в одном из измерений. В спектре отчетливо выделяются H³, He⁴, He⁶, He⁸, Li⁷, Li⁸, Li⁹, Be⁹, Be¹⁰. Для выхода изотопов He³, Li⁶, Be⁷ можно определить лишь верхний предел. Выход различных изотопов определялся по отношению к выходу α -частиц и вычислялся по формуле

$$\frac{Y_x}{Y_\alpha} = \frac{N_x}{N_\alpha} \cdot \frac{1}{K_x} \cdot \frac{\varepsilon_x}{\varepsilon_\alpha}. \quad (1)$$

Здесь Y_x — выход изотопа x на интервал 1 МэВ на 10⁴ α -частиц при заданном значении H_0 ; N_x — число зарегистрированных ядер данного изотопа; ε_x — эффективность регистрации данного изотопа при заданном H_0 ; K_x — коэффициент, учитывающий различие выделяемых магнитным спектрометром энергетических интервалов для α -частиц и изотопа x :

$$K_x = \frac{M_\alpha}{M_x} \left(\frac{Z_x}{Z_\alpha} \right)^2. \quad (2)$$

Эффективность регистрации ε_x можно представить в виде

$$\varepsilon_x = \varepsilon_x^0 \varepsilon_x^c \varepsilon_x^i, \quad (3)$$

где ε_x^0 — эффективность t_0 -индикатора, пропорциональная Z^2/v^2 регистрируемой частицы; ε_x^c — фактор, учитывающий уменьшение интенсивности за счет кулоновского рассеяния в фольге t_0 -индикатора; ε_x^i — фактор, обусловленный перезарядкой ионов в фольге источника и в фольге t_0 -индикатора.

Для ядер с $Z > 2$ принималось $\varepsilon_x^0 = 1$, а ε_x^i измерялось на опыте (для α -частиц с энергией 6 МэВ $\varepsilon_x^i = 0,9$). Значения ε_x^c в широком диапазоне энергий α -частиц определялись в специальной серии измерений, а ε_x^i вычисля-

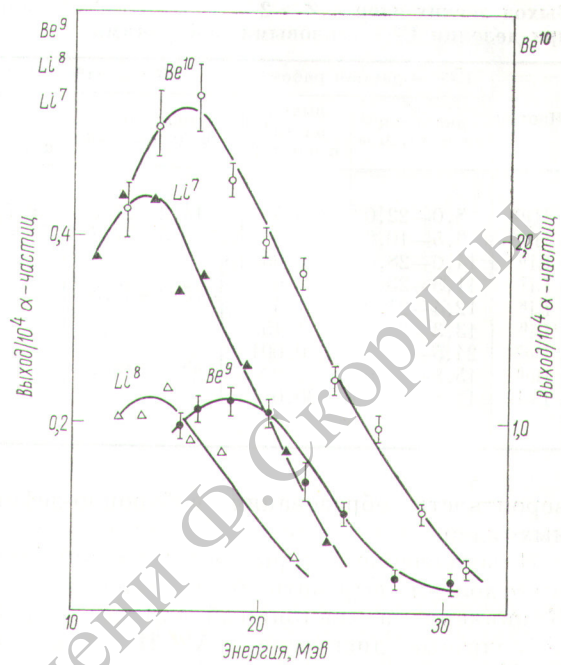


Рис. 6. Энергетические спектры изотопов Li⁷, Li⁸, Be⁹ и Be¹⁰.

лись в предположении зависимости этого коэффициента только от Z/E частицы. Величины ε_x^i находились по данным работы [11]. Определялась вероятность P_x^i полной ионизации атома изотопа при заданной скорости. Поскольку перезарядка имеет место дважды (в фольге источника и в фольге t_0 -индикатора), то $\varepsilon_x^i = (P_x^i)^2$. На рис. 6 приведены энергетические распределения для ядер Li⁷, Li⁸, Be⁹, Be¹⁰ с учетом поглощения в фольге источника. В табл. 3 приведены данные о выходе различных изотопов в измеренных энергетических интервалах, отнесенные к полному выходу α -частиц. Там же для сравнения приведены данные, полученные Коспером и др. [1], исследовавшими спонтанное деление Cf²⁵².

Из полученных результатов следует отметить малую величину выхода легчайших изотопов при делении U²³⁵ тепловыми нейтронами (He³, Li⁶, Be⁷). В то же время при делении U²³⁸ быстрыми протонами (5,6 Бэв) выходы изотопов Li⁶, Li⁷ и Be⁹, Be¹⁰ соответственно сравнимы по величине [12]. Наблюдаемый эффект можно объяснить, предполагая, что шейка делящегося ядра в момент образования легкой частицы обогащена нейтронами. Это уменьшает

**Выход легких ядер с $Z > 2$
при делении U^{235} тепловыми нейтронами**

Таблица 3

Изотоп	U^{235} — данная работа		Cf^{252} — работа [1]	
	диапазон энергий, МэВ	выход на 10^4 α -частиц	диапазон энергий, МэВ	выход на 10^4 α -частиц
He ³	8,0—22,0	$\leq 0,5$	14,2—21,3	$\leq 7,5$
He ⁸	6,5—10,6	3,3	9,3—27,7	6,2
Li ⁶	14,0—28,0	$\leq 0,05$	$\left. \begin{array}{l} 15,2—37,3 \\ 12,6 \end{array} \right\}$	
Li ⁷	11,3—23,7	3,6		
Li ⁸	12,4—21,9	1,4		
Li ⁹	13,3—20,2	1,15		
Be ⁷	24,5—44,0	$\leq 0,001$	$\left. \begin{array}{l} 23,0—49,1 \\ 15,6 \end{array} \right\}$	
Be ⁹	15,8—33,6	2,00		
Be ¹⁰	12,8—31,2	30,0		

вероятность образования нейтронно-дефицитных ядер.

В заключение авторы считают своим приятным долгом выразить благодарность Д. М. Каминкеру за постоянный интерес к работе и полезные дискуссии, А. И. Егорову и Л. М. Васильевой за изготовление источника, В. Ф. Афанасьеву за изготовление полупроводникового детектора, Ю. К. Залите, М. Ф. Соболевской и С. Н. Морозовой за помощь в обработке результатов измерений, а также сотруд-

никам группы электроники Я. М. Отчику, А. Г. Никанорову и В. И. Юрченко за помощь в проведении двумерного анализа.

Поступила в Редакцию 14/III 1968 г.
В окончательной редакции 29/VII 1968 г.

ЛИТЕРАТУРА

1. S. Cosper, J. Serhy, R. Gatti. Phys. Rev., 154, 1193 (1967).
2. S. Whetstone, T. Thomas. Phys. Rev., 154, 1174 (1967).
3. M. Sowinski et al. Report INR 765/IA/PL, 1966.
4. A. I. Базь, В. И. Польданский, Я. Б. Зельдович. «Усп. физ. наук», 72, 211 (1960).
5. G. Garvey, J. Kelson. Phys. Rev. Lett., 16, 197 (1963).
6. А. А. Воробьев и др. Препринт ФТИ-073, 1967.
7. M. Dakowski et al. Phys. Lett., 25B, 3, 213 (1967).
8. E. Abenesius, R. Ondrejcin. Nucleonics, 18, 9, 100 (1960).
9. S. Stoth et al. J. Inorg. and Nucl. Chem., 24, 337 (1962).
10. M. Marshall, J. Scobie. Phys. Lett., 23, 10, 583 (1966).
11. L. Northcliffe. Ann. Rev. Nucl. Sci., 13, 67 (1963).
12. A. Poskanzer, S. Cosper, E. Hyde. Phys. Rev. Lett., 17, 1271 (1966).

Определение ультрамикро количеств Ra^{226} в различных веществах

А. А. ПОМАНСКИЙ, С. А. СЕВЕРНЫЙ,
Е. П. ТРИФОНОВА

УДК 543.52:546.296

Задача регистрации солнечных нейтрино налагает жесткие ограничения на максимально допустимые количества U^{238} , Th^{232} и продуктов их распада в детекторе и окружающих его материалах [1, 2]. Развитый ранее [3] метод определения радиоактивной загрязненности материалов, основанный на измерении их поверхностной α -активности, непригоден для жидкостей, используемых в большинстве детекторов для регистрации нейтрино [4]. На базе ранее созданной установки [5] нами была разработана методика извлечения радона Rn^{222} из различных веществ, регистрации его активности в пропорциональном счетчике и расчета активности радия Ra^{226} , присутствующего в анализируемом продукте. При этом учитывается, что распад одного атома радона в счетчике приводит за время немногим более 1 ч к появлению в среднем двух импульсов: одного,

образующегося в результате распада самого Rn^{222} , и другого — в результате распада Po^{214} или Po^{214} , находящихся в равновесии с Rn^{222} . Производилось определение загрязненности радием обыкновенной дистиллированной и бидистиллированной воды, вазелинового масла, раствора лития и $LiCl$ в воде и других растворов.

Установка для извлечения радона из жидкой фазы показана на рисунке. Экстракция радона из барботера производится потоком гелия, в который добавляется порция ксенона, служащего газом-носителем при последующем движении радона по системе. Выбор ксенона обусловлен его наибольшей близостью к радону по растворимости в различных жидкостях и температуре кипения, а также возможностью его использования в качестве рабочего газа счетчика.